

01:03:04

Аналитические методы оценки параметров плазмы продуктов сгорания и определение температуры по результатам измерений проводимости плазмы

© В.В. Кучинский, А.Б. Никитенко

Научно-исследовательское предприятие гиперзвуковых систем,
196066 Санкт-Петербург, Россия
e-mail: ajax@peterstar.ru

(Поступило в Редакцию 30 сентября 2009 г.)

Рассматривается прохождение звуковой волны через плазму продуктов сгорания в камере сгорания реактивного двигателя. Использовано приближение трехжидкостной модели плазмы. Получены аналитические формулы для оценки скорости электронов, электрического поля и степени ионизации. Предложен и экспериментально проверен метод определения температуры по результатам измерений проводимости. Результаты работы позволяют сделать заключение о хороших возможностях предложенного диагностического метода (измерение электрофизических параметров плазмы) для определения в реальном времени рабочих параметров двигателя.

Введение

Обеспечение эксплуатационной надежности авиационных и ракетно-космических транспортных систем в большой степени определяется разработкой и внедрением в практику испытаний и эксплуатации двигателей эффективных диагностических систем. Диагностика камеры сгорания является основным элементом этих систем. Перспективы разработки высокоэффективных методов технической диагностики двигателей могут быть значительно улучшены за счет использования нетрадиционных средств измерений [1–3]. Определенными преимуществами обладают, в частности, системы диагностики, использующие для получения информации о характеристиках процесса в камерах результаты анализа электрофизических отображений этого процесса.

Регистрация и последующее изучение электрофизических параметров процесса (проводимости и потенциала) по сравнению с традиционно оцениваемыми параметрами имеют ряд существенных преимуществ с точки зрения методического и аппаратурного обеспечения. Могут использоваться методы, отличающиеся высокой разрешающей способностью, применение которых в большом числе случаев не требует нарушения целостности конструкций камер и не сопровождается понижением их надежности, не вносит возмущений в исследуемый процесс, снимает какие-либо ограничения в отношении его частотных характеристик. Свойственная электрофизическому методам практическая безынерционность является принципиальным фактором успешного решения одной из основных задач технической диагностики — эффективного выявления предаварийных ситуаций.

На первом этапе работы удается показать, как влияют на электрофизические отображения изменения основных характеристик процессов в высокотемпературном реакторе и в плазме продуктов сгорания. Пример такого соответствия приведен на рис. 1. После ряда

аналогичных измерений можно утверждать, что имеется экспериментальная основа для разработки надежного метода диагностики, который позволит в дальнейшем четко контролировать и корректировать поиски методов

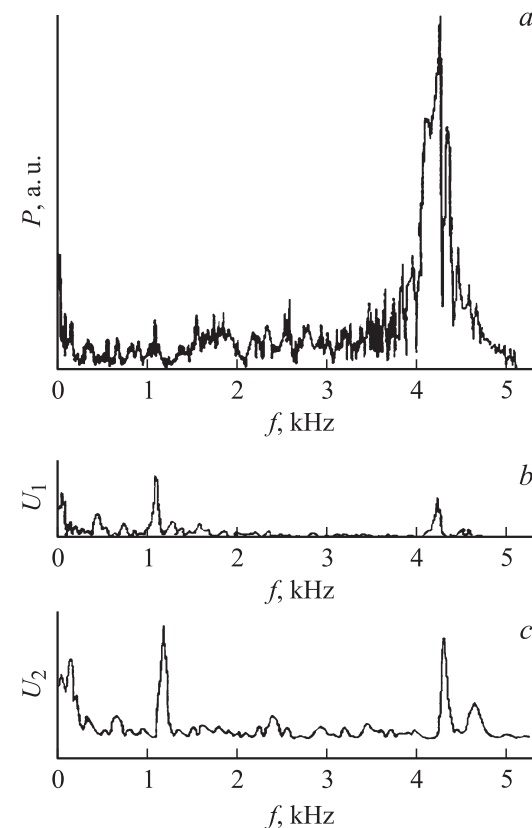


Рис. 1. Частотные спектры (регистрация величины польсационного давления): *a* — во входной секции двигателя, *b* — в выходной секции, *c* — на входе в сопло. Пример корреляции показаний датчика давления (*a*) с измеряемыми потенциалами зондов (*b*, *c*).

воздействия на процессы в камере сгорания. Особый интерес представляет прохождение через плазму продуктов сгорания акустических и детонационных волн и высокочастотного излучения. Необходимо исследовать „реакцию“ электрофизических отображений на существенные параметры горения (наличие легкоионизуемых добавок, наличие наложенных химических реакций, прохождение детонационной или акустической волны) экспериментальными и теоретическими методами.

Развиваемый подход отвечает особенностям квазиравновесной трехжидкостной модели, в рамках которой низкотемпературная плазма продуктов сгорания представляется смесью энергетически и вязкостью взаимодействующих друг с другом нейтрального a , ионного i и электронного e компонентов, а ее локальный состав совокупно определяется общепринятыми условиями ионизационного равновесия, вязкостными взаимодействиями между плазменными составляющими и динамическими характеристиками внешних воздействий.

Введем степень ионизации

$$\alpha = \frac{p_i}{p_a^{(0)}} = \frac{n_i k T}{n_a^{(0)} k T} = \frac{n_i}{n_a^{(0)}} \quad (1)$$

и степень относительной концентрации электронов в среде

$$\eta = \alpha(1 - \xi), \quad (2)$$

где ξ — степень нарушения квазинейтральности. Если $n_a^{(0)}$ — исходная концентрация частиц трехжидкостной среды, то уравнениями

$$n_i = \alpha n_a^{(0)}, \quad n_e = \alpha(1 - \xi) n_a^{(0)} = \eta n_a^{(0)}, \quad n_a = (1 - \alpha) n_a^{(0)} \quad (3)$$

оцениваются концентрации частиц ее отдельных составляющих. С учетом предположения об энергетическом равновесии (1)–(3) определяются выражения для парциальных давлений

$$\begin{aligned} p_i &= n_i k T = \alpha n_a^{(0)} k T, \\ p_e &= n_e k T = \eta n_a^{(0)} k T = \alpha(1 - \xi) n_a^{(0)} k T, \\ p_a &= n_a k T = (1 - \alpha) n_a^{(0)} k T, \end{aligned} \quad (4)$$

а также давления среды в целом и концентрации частиц исходной среды

$$\begin{aligned} P_\Sigma &= p_e + p_i + p_a = [1 + \alpha(1 - \xi)] n_a^{(0)} k T \\ &= (1 + \eta) n_a^{(0)} k T, \\ n_a^{(0)} &= \frac{P_\Sigma}{[1 + \alpha(1 - \xi)] k T} = \frac{P_\Sigma}{(1 + \eta) k T}. \end{aligned} \quad (5)$$

Основные уравнения

Система, описывающая состояние плазмы в условиях внешних акустических воздействий и в предположении

слабого магнитного взаимодействия между компонентами, представляется электрогазодинамической (ЭГД) системой. В состав системы включаем:

— уравнения движения электронного и ионного компонентов [1,2]

$$n_e m_e \left(\frac{\partial}{\partial t} + U_e \nabla \right) U_e + \frac{e n_e}{\mu_e} (U_e - U_a) + \nabla p_e - e n_e E = 0, \quad (6)$$

$$n_i m_i \left(\frac{\partial}{\partial t} + U_i \nabla \right) U_i + \frac{e n_i}{\mu_i} (U_i - U_a) + \nabla p_i + e n_i E = 0; \quad (7)$$

— уравнение ионизационного равновесия среды в форме Саха, представляемое в виде

$$\begin{aligned} \frac{\alpha \eta}{(1 - \alpha)(1 + \eta)} &= s(t, x) \\ &= 6.666\,798 \cdot 10^{-2} \frac{T^{\frac{5}{2}}}{P_\Sigma} \exp\left(-\frac{V}{kT}\right); \end{aligned} \quad (8)$$

— зависимости для среднемассовых плотности и скорости

$$\rho_\Sigma = \frac{m_e \eta + m_i \alpha + m_a (1 - \alpha)}{1 + \eta} \frac{P_\Sigma}{k T},$$

$$U_\Sigma = \frac{m_e U_e \eta + m_i U_i \alpha + m_a U_a (1 - \alpha)}{m_e \eta + m_i \alpha + m_a (1 - \alpha)}, \quad (9)$$

— уравнение неразрывности потока, уравнение сохранения заряда и уравнение Пуассона

$$\begin{aligned} \frac{\partial}{\partial t} \rho_\Sigma + \nabla(\rho_\Sigma U_\Sigma) &= 0, & \frac{\partial}{\partial t} q + \nabla \theta_k &= 0, \\ \nabla E - \frac{1}{\epsilon_0} q &= 0. \end{aligned} \quad (10)$$

Здесь α — степень ионизации, η — относительная концентрация электронов,

$$\mu_e = \frac{e}{m_e Q_{ea}} \sqrt{\frac{\pi m_e}{8kT}} \frac{(1 + \eta) k T}{(1 - \alpha) P_\Sigma},$$

$$\mu_i = \frac{e}{m_i Q_{ia}} \sqrt{\frac{\pi m_i}{8kT}} \frac{(1 + \eta) k T}{(1 - \alpha) P_\Sigma}$$

— подвижность электронного и ионного компонентов соответственно,

$$q = e \frac{P_\Sigma (\alpha - \eta)}{k T (1 + \eta)}$$

— локальная плотность некомпенсированного (избыточного) заряда,

$$\theta_k = e(\alpha U_i - \eta U_e) \frac{P_\Sigma}{(1 + \eta) k T}$$

— конвективная составляющая электрического тока.

Система сводится к восьми линейно независимым соотношениям между десятью функциями: $U_e, U_i, U_a, \rho_\Sigma$,

$U_\Sigma, \alpha, \eta, E, P_\Sigma, T$. Система замыкается предположением о том, что функции P_Σ, T , определяющие характер акустических воздействий, рассматриваются как известные

$$P_\Sigma = p_0 \left(1 + c \cos\left(\frac{2\pi n_1 f_0}{a_0} X\right) \sin(2\pi n_1 f t) \right), \quad \bar{p} = \frac{P_\Sigma}{p_0};$$

$$T = T_0 \left(1 + c \cos\left(\frac{2\pi n_1 f_0}{a_0} X\right) \sin(2\pi n_1 f t) \right), \quad \bar{T} = \frac{T}{T_0}, \quad (11)$$

где f и n_1 — частота и номер гармоники (в дальнейшем будем использовать соответствующим образом определенную частоту $f_0 = f n_1$), c — амплитуда возмущающего акустического сигнала, $a_0 = \sqrt{\gamma R_{\text{gas}} T_0}$ — скорость звука, R_{gas} — газовая постоянная продуктов сгорания, $\gamma = c_p/c_v$ — отношение теплоемкостей, X и t — расстояние и время.

Приведенную выше систему уравнений (6)–(10) удается свести к системе четырех уравнений относительно степени ионизации α , напряженности поля \bar{E} и скоростей ионов и электронов.

Введение безразмерных переменных

$$x = X f_0 / \sqrt{\gamma R_{\text{gas}} T_0}, \quad \tau = t f_0 \quad (12)$$

позволяет записать получившуюся систему уравнений в виде:

$$\frac{\partial \alpha}{\partial \tau} = \frac{\alpha}{\alpha^2 + (1 + \alpha^2)s} \left[(1 - \alpha^2) \frac{\partial s}{\partial \tau} + \frac{s - (1 + s)\alpha^2}{\phi} \frac{\partial \phi}{\partial \tau} \right. \\ \left. - \frac{\alpha}{\phi} \frac{\partial}{\partial x} \left(\frac{\alpha u_i - \eta u_e}{1 + \eta} \phi \right) \right], \quad (13)$$

$$\frac{\partial u_e}{\partial \tau} + u_e \frac{\partial u_e}{\partial x} = k_1 \sqrt{g} (u_i - u_e) - k_2 \bar{E} \\ - k_3 \frac{1 + \eta}{\eta \phi} \frac{\partial}{\partial x} \left(\frac{\eta}{1 + \eta} g \right), \quad (14)$$

$$\frac{\partial u_i}{\partial \tau} + u_i \frac{\partial u_i}{\partial x} = \frac{Q_{ie}}{Q_{ea}} \sqrt{\frac{m_e}{m_i}} k_1 \sqrt{g} (u_d - u_i) \\ + k_2 \frac{m_e}{m_i} \bar{E} - k_3 \frac{m_e}{m_i} \frac{1 + \eta}{\eta \phi} \frac{\partial}{\partial x} \left(\frac{\eta}{1 + \eta} g \right), \quad (15)$$

$$\frac{\partial \bar{E}}{\partial x} = \alpha_0 \exp(\varphi) (1 + s) - \frac{s}{\alpha_0} \exp(-\varphi), \quad (16)$$

где

$$u_e = \frac{U_e}{a_0}, \quad u_i = \frac{U_i}{a_0} \quad \phi = \frac{\bar{p}}{\bar{T}},$$

$$g = 1 + c \sin(2\pi\tau) \cos(2\pi x), \quad \varphi = \ln \frac{\alpha}{\alpha_0}, \quad (17)$$

$$E = \frac{e \sqrt{\gamma R_{\text{gas}}}}{k \varepsilon_0} \frac{p_0}{f_0 \sqrt{T_0}} \bar{E} = 2.627 \cdot 10^{16} \frac{p_0}{f_0 \sqrt{T_0}} \bar{E}, \quad (18)$$

$$k_1 = Q_{ea} \sqrt{\frac{8}{\pi k m_e}} \frac{p_0}{f_0 \sqrt{T_0}} = 6.75 \cdot 10^7 \frac{p_0}{f_0 \sqrt{T_0}},$$

$$k_2 = \frac{e^2}{\varepsilon_0 k m_e} \frac{p_0}{f_0^2 T_0} = 2.3052 \cdot 10^{26} \frac{p_0}{f_0^2 T_0},$$

$$k_3 = \frac{k}{\gamma R_{\text{gas}} m_e} = 3.772 \cdot 10^4. \quad (19)$$

Приближенные методы решения

При высоких потенциалах ионизации, которыми обычно обладают продукты сгорания, можно пренебречь в расчетах величиной $\alpha \approx \sqrt{s}$ по сравнению с единицей, т.е. считать $1 - \alpha \approx 1$, $1 - \eta \approx 1$. На первом этапе расчета можно также считать, что поскольку $U_e \gg U_i$, в слагаемых с множителем $u_i - u_e$ остается только $-u_e$; величина ϕ в нашем случае равна единице. Тогда два наиболее существенных из уравнений (13)–(16) можно привести к виду

$$\frac{\partial \bar{E}}{\partial x} = \alpha_0 e^\varphi (1 + s) - \frac{s}{\alpha_0} e^{-\varphi}, \quad (20)$$

$$\frac{\partial \alpha}{\partial \tau} = -\frac{\alpha}{\alpha^2 + s} \left[\frac{\partial s}{\partial \tau} + \alpha \frac{\partial}{\partial x} \left(\frac{\eta u_e}{1 + \eta} \right) \right], \quad (21)$$

$$\frac{\partial u_e}{\partial \tau} + u_e \frac{\partial u_e}{\partial x} = -k_1 \sqrt{g} u_e + k_2 \bar{E} \\ + k_3 \frac{1 + \eta}{\eta} \frac{\partial}{\partial x} \left(\frac{\eta}{1 + \eta} g \right), \quad (22)$$

где

$$\eta(\tau, x) = \frac{1}{\frac{\alpha(\tau, x)}{s(\tau, x)(1 - \alpha(\tau, x))} - 1}. \quad (23)$$

Выразив η через α по формуле (23) и раскрыв круглые скобки в уравнениях (21)–(22)

$$\frac{1 + \eta}{\eta} \frac{\partial}{\partial x} \left(\frac{\eta}{1 + \eta} g \right) = -2\pi c \sin(2\pi\tau) \sin(2\pi x) \\ \times \left(\frac{5}{2} + \frac{V_0}{g} \right) - \frac{g}{\alpha} \frac{\partial \alpha}{\partial x}, \quad V_0 = \frac{eV}{kT_0}, \quad (24)$$

получим окончательно систему уравнений для $u_e = U_e/a_0$ и функции φ , определяемой равенством

$$\alpha = \alpha_0 e^\varphi, \quad \left(\varphi = \ln \frac{\alpha}{\alpha_0} = \ln \alpha - \ln \alpha_0, \quad \alpha_0 = \alpha|_{t=0} \right) : \quad (25)$$

$$\frac{\partial u_e}{\partial t} + u_e \frac{\partial u_e}{\partial x} + k_1 \sqrt{g} u_e - k_3 g \frac{\partial \varphi}{\partial x} \\ - k_4 \sin(2\pi\tau) \sin(2\pi x) - k_2 \bar{E} = 0, \quad (26)$$

$$\frac{\partial \varphi}{\partial \tau} + \frac{u_e}{1 + \frac{\alpha_0^2 \exp(2\varphi)}{s}} \frac{\partial \varphi}{\partial x} \\ = \frac{1}{1 + \frac{\alpha_0^2 \exp(2\varphi)}{s}} \left\{ \frac{\partial u_e}{\partial x} + k_0 [\cos(2\pi\tau) \cos(2\pi x) \right. \\ \left. - u_e \sin(2\pi\tau) \sin(2\pi x)] \right\}, \quad (27)$$

$$\frac{\partial \bar{E}}{\partial x} = \alpha_0 e^\varphi (1 + s) - \frac{s}{\alpha_0} e^{-\varphi}, \quad (28)$$

где

$$k_4 = 2\pi c k_3 \left(\frac{5}{2} + V_0 \right), \quad k_6 = 2\pi c \left(\frac{3}{2} + V_0 \right).$$

В нулевом приближении $\alpha_0^2 \exp(2\varphi) = \alpha^2 \approx s$, поскольку при малых скоростях уравнение (21)

$$\frac{\partial \alpha}{\partial \tau} = \frac{\alpha}{\alpha^2 + s} \left\{ \frac{\partial s}{\partial \tau} \right\}, \quad \frac{\partial \alpha}{\partial s} = \frac{\alpha}{\alpha^2 + s}$$

имеет очевидное решение

$$\alpha(\tau, x) = \sqrt{s(\tau, x)}. \quad (29)$$

Величина степени ионизации α определяется также напряженностью поля \bar{E} в соответствии с уравнением (28):

$$\begin{aligned} \alpha(\tau, x) &= \frac{1}{2(1+s(x, \tau))} \left[k_1 \frac{\partial \bar{E}(\tau, x)}{\partial x} \right. \\ &\quad \left. + \sqrt{\left(\frac{k_1}{k_2} \frac{\partial \bar{E}(\tau, x)}{\partial x} \right)^2 + 4s(\tau, x)(1+s(\tau, x))} \right] \\ &\approx \frac{k_1}{2k_2} \frac{\partial \bar{E}(\tau, x)}{\partial x} + \sqrt{\left(\frac{k_1}{2k_2} \frac{\partial \bar{E}(\tau, x)}{\partial x} \right)^2 + s(\tau, x)}. \end{aligned} \quad (30)$$

Во всех реальных расчетах степень ионизации с хорошей точностью (ошибка меньше 3%) определяется формулой (29). Однако интегрирование уравнения (28) не позволяет получить напряженность поля, поскольку неизвестна величина $\bar{E}(\tau, 0)$.

Нулевое приближение для скорости получится, если принять во внимание, что в уравнении (26) коэффициент k_1 значительно больше коэффициентов при производных, и тогда

$$\begin{aligned} u_e(\tau, x) &\approx \frac{1}{k_1 \sqrt{g}} \\ &\times \left(k_3 \frac{g}{\alpha} \frac{\partial \alpha}{\partial x} + k_4 \sin(2\pi\tau) \sin(2\pi x) + k_2 \bar{E} \right). \end{aligned} \quad (31)$$

Эта формула позволяет вычислить скорость электронов при известных $\alpha(\tau, x)$ и $\bar{E}(\tau, x)$. Соответственно безразмерная напряженность поля при известной скорости

$$\begin{aligned} \bar{E}(\tau, x) &\approx \frac{1}{k_2} \\ &\times \left(k_1 u_e \sqrt{g} - k_3 \frac{g}{\alpha} \frac{\partial \alpha}{\partial x} - k_4 \sin(2\pi\tau) \sin(2\pi x) \right), \end{aligned} \quad (32)$$

где $\alpha(\tau, x) = \sqrt{s(\tau, x)}$.

Если линеаризовать с помощью равенства (31) уравнение (26), то скорость должна удовлетворять приближенному линейному уравнению

$$\begin{aligned} \frac{\partial u_e}{\partial \tau} + \frac{k_5}{k_1} \sin(2\pi\tau) \sin(2\pi x) \frac{\partial u_e}{\partial x} + k_1 \sqrt{g} u_e \\ - k_3 g \frac{\partial \varphi}{\partial x} - k_4 \sin(2\pi\tau) \sin(2\pi x) - k_2 \bar{E} = 0, \end{aligned} \quad (33)$$

которое решается аналитически и дает для относительной скорости электронов (для числа Маха $u_e = U_e/a_0$)

$$\begin{aligned} u_e(\tau, x) &= \frac{U_e(\tau, x)}{a_0} \approx \int_0^\tau \exp(-k_1(\tau - \tau')) \\ &\times \left[k_3 g \frac{\partial \varphi}{\partial x} + k_4 \sin(2\pi\tau') \sin(2\pi z) + k_2 \bar{E} \right] d\tau', \end{aligned} \quad (34)$$

где

$$z = \frac{1}{\pi} \operatorname{arctg} \left[\operatorname{tg}(\pi x) \exp \left(\frac{k_5}{k_1} [\cos(2\pi\tau) - \cos(2\pi\tau')] \right) \right]. \quad (35)$$

Если вычислить интеграл в формуле (34) по методу перевала, снова получится формула (31). Еще один вариант связи скорости электронов с напряженностью электрического поля получится, если формально использовать равенство $U_e \approx \mu_e E$. В нашем случае

$$k_2 \bar{E}(\tau, x) \approx k_1 [u_e(\tau, x) + w(\tau, x)]. \quad (36)$$

Для разности

$$\begin{aligned} w(\tau, x) &= \frac{k_2}{k_1} \bar{E}(\tau, x) - u_e(\tau, x) \\ &\approx -2.794 \cdot 10^{-4} \frac{f_0 \sqrt{T_0}}{p_0} \pi c (7 + 2V_0) \sin(2\pi x) \sin(2\pi\tau) \\ &\quad \left[\frac{w(\tau, x)}{u_e(\tau, x)} \ll 1 \right] \end{aligned} \quad (37)$$

получается линейная зависимость от частоты, что означает рост отставания реакции электронной скорости на управляющее поле с ростом частоты акустической волны. Поведение скорости электронов в начале координат можно оценить по формуле

$$u_e(\tau, 0) \approx c V_0 \sin(2\pi\tau). \quad (38)$$

Зависимость скорости, напряженности поля и степени ионизации от безразмерных координат x и времени τ по форме воспроизводится при различных c, T_0, p_0 . При этом выполняются равенства

$$\bar{E} \frac{\sqrt{T_0}}{c V f_0} \approx B_E, \quad u_e \frac{T_0}{c V} \approx B_U,$$

где величины B_E, B_U не зависят от c, T_0, p_0, V , что позволяет по заданной кривой построить ту же зависимость для любого набора c, T_0, p_0, V . Частота в диапазоне $f < 10^6$ Hz мало влияет на форму кривых в переменных $\{\tau, x\}$ и только меняет масштаб при пересчете к размерным координатам. Увеличение потенциала ионизации и глубины модуляции увеличивает максимальные значения U_e и E . Скорость ионов составляет

$$U_i(\tau, x) \approx -\sqrt{\frac{m_e}{m_i}} U_e(\tau, x). \quad (39)$$

Распределение скорости электронов $u_e(\tau, x) = \frac{u_e(\tau, x)}{a_0}$ по расстоянию x ($X = x \frac{a_0}{f}, \text{м}$) и во времени τ ($t = \frac{\tau}{f_0}, \text{s}$). Безразмерное расстояние x приведено в первой строке таблицы, безразмерное время τ — в первой колонке. Расчет проведен при давлении $p_{bm} = 2 \cdot 10^5 \text{ Pa}$

τ	x																			
0	0.1	0.2	0.3	0.4	0.5	0.6	0.7	0.8	0.9	1.0	1.1	1.2	1.3	1.4	1.5	1.6	1.7	1.8	1.9	2.0
0	0	0	0	0	0	0	0	0	0	0	0	0	0	0	0	0	0	0	0	0
0.1	0.11118	0.0772	0.0160	-0.0495	-0.0955	-0.1054	-0.0754	-0.0165	0.0492	0.0968	0.1077	0.0776	0.0171	0	0	0	0	0	0	0
0.2	0.1681	0.0939	-0.0080	-0.1046	-0.1629	-0.1607	-0.0959	0.0085	0.1112	0.1702	0.1630	0.0950	-0.0074	-0.1073	-0.1668	-0.1636	-0.0964	0.0096	0.1113	0.1680
0.3	0.1359	0.0417	-0.0577	-0.1554	-0.1669	-0.1358	-0.0464	0.0679	0.1568	0.1806	0.1340	0.0428	-0.0586	-0.1388	-0.1709	-0.1385	-0.0463	0.0693	0.1563	0.1779
0.4	0.0216	-0.1334	-0.0575	-0.1083	-0.1236	-0.0983	-0.0317	0.0593	0.1355	0.1561	0.1098	0.0247	-0.0571	-0.1107	-0.1266	-0.1011	-0.0329	0.0605	0.1367	0.1548
0.5	-0.2717	-0.1334	-0.1647	-0.1364	-0.0659	0.0262	0.1183	0.1789	0.1742	0.0949	-0.0252	-0.1262	-0.1654	-0.1397	-0.0678	0.0260	0.1199	0.1813	0.1745	0.0931
0.6	-0.3422	-0.2440	-0.0609	0.1416	0.2897	0.3341	0.2575	0.0831	-0.1252	-0.2849	-0.3310	-0.2461	-0.0638	0.1449	0.2963	0.3399	0.2594	0.0816	-0.1264	-0.2822
0.8	-0.3151	-0.1651	0.0466	0.2403	0.3369	0.3086	0.1724	-0.0219	-0.2065	-0.3153	-0.3039	-0.1684	0.0460	0.2473	0.3452	0.3134	0.1728	-0.0236	-0.2071	-0.3125
0.9	-0.1903	-0.0139	0.1701	0.2881	0.2878	0.1859	0.0300	-0.1260	-0.2343	-0.2591	-0.1826	-0.0189	0.1735	0.2974	0.2947	0.1878	0.0290	-0.1274	-0.2345	-0.2564
1.0	-0.0001	0.1630	0.2637	0.2608	0.1546	0.0061	-0.1258	-0.2027	-0.2063	-0.1346	-0.0007	0.1571	0.2716	0.2694	0.1576	0.0046	-0.1280	-0.2037	-0.2063	-0.1313
1.1	0.1962	0.3007	0.2888	0.1670	-0.0145	-0.1713	-0.2504	-0.2341	-0.1324	0.0225	0.1850	0.2962	0.2993	0.1721	-0.0159	-0.1755	-0.2534	-0.2348	-0.1317	0.0285
1.2	0.3504	0.3484	0.2391	0.0455	-0.1589	-0.2904	-0.3082	-0.2101	-0.0300	0.1675	0.3129	0.3474	0.2483	0.0463	-0.1630	-0.2963	-0.3119	-0.2104	-0.0276	0.1799
1.3	0.3558	0.2961	0.1401	-0.0592	-0.2343	-0.3179	-0.2811	-0.1323	0.0749	0.2560	0.3411	0.2981	0.1454	-0.0614	-0.2392	-0.3245	-0.2849	-0.1315	0.0813	0.2808
1.4	0.2711	0.1726	0.0290	-0.1198	-0.2281	-0.2519	-0.1764	-0.0213	0.1504	0.2592	0.2654	0.1752	0.0298	-0.1231	-0.2336	-0.2582	-0.1794	-0.0180	0.1648	0.3038
1.5	0.1186	0.0252	-0.0639	-0.1308	-0.1560	-0.1214	-0.0311	0.0850	0.1711	0.1810	0.1215	0.0260	-0.0662	-0.1338	-0.1594	-0.1262	-0.0318	0.0931	0.1986	0.2523
1.6	-0.0392	-0.0998	-0.1198	-0.1019	-0.0516	0.0230	0.1002	0.1481	0.1354	0.0608	-0.0318	-0.1013	-0.1234	-0.1041	-0.0537	0.0206	0.1033	0.1641	0.1815	0.1622
1.7	-0.1455	-0.1675	-0.1303	-0.0513	0.0433	0.1266	0.1700	0.1520	0.0698	-0.0461	-0.1376	-0.1705	-0.1335	-0.0526	0.0425	0.1270	0.1784	0.1797	0.1387	0.0842
1.8	-0.1616	-0.0988	-0.0030	0.0909	0.1527	0.1612	0.1094	0.0109	-0.0963	-0.1623	-0.1650	-0.1005	-0.0039	0.0908	0.1562	0.1170	0.1532	0.1055	0.0566	0.0130
1.9	-0.1068	-0.0915	-0.0442	0.0183	0.0980	0.0709	0.0909	-0.0495	-0.0146	-0.0757	-0.1049	-0.0943	-0.0437	0.0167	0.0709	0.1051	0.1142	0.1068	0.0858	-0.0241
2.0	0.0067	0.0066	-0.0013	-0.0066	-0.0066	-0.0011	-0.0024	0.0011	0.0008	0.0001	0.0001	0.0005	-0.0046	-0.0063	-0.0063	0.0055	0.0001	0.0402	0.0929	0.1440

В таблице приведен результат численного расчета $u_{em}(\tau, x)$ при температуре $T_{0m} = 2500$ К, частоте $f_m = 2 \cdot 10^5$ Hz, глубине модуляции $c_m = 0.01$, потенциале ионизации $V_m = 8$ eV. Для получения $u_e(\tau, x)$ при других значениях p_0, T_0, f, c, V данные из таблицы $u_{em}(\tau, x)$ следует умножить на множитель

$$K = \frac{T_{0m}}{c_m V_m} \frac{cV}{T_0} = 31250 \frac{cV}{T_0}, \quad (40)$$

т. е.

$$u_e(\tau, x) \approx K u_{em}(\tau, x), \quad (41)$$

затем по формуле (32) рассчитать безразмерную напряженность поля, по формуле (29) или (30) степень ионизации и т. д. Такой метод дает ошибку не более 15% для максимумов кривых.

Для размерных значений скорости ($[U_c] = m/s$) и напряженности электрического поля ($[E] = V/m$) получаются приближенные равенства

$$\begin{aligned} U_e &\approx C_U \frac{V_0 c \sqrt{\gamma R_{\text{gas}}}}{k \sqrt{T_0}} = C_U \frac{V_0 c a_0}{k T_0}, \\ E &\approx C_E \frac{p_0}{k T_0} c V_0 \frac{Q_{ea}}{e} \sqrt{\frac{8 m_e \gamma R_{\text{gas}}}{\pi k}}, \end{aligned} \quad (42)$$

где коэффициенты C_U, C_E порядка единицы. Таким образом, максимальная скорость электронов определяется отношением энергии ионизации ($V_0 = 1.6 \cdot 10^{-19} VJ$), умноженной на глубину модуляции, к энергии плазмы. Максимальная напряженность электрического поля определяется произведением энергии ионизации, умноженной на глубину модуляции, на концентрацию продуктов сгорания.

Формулы (42) позволяют сделать качественные выводы о влиянии параметров камеры сгорания на скорость электронов и ионов и на напряженность электрического поля. Рост глубины модуляции акустической волны c приводит к увеличению скоростей и поля. Также влияет величина потенциала ионизации V . Рост давления увеличивает напряженность поля, но не влияет на скорость электронов и ионов. Рост температуры вызывает увеличение скорости хаотического движения атомов и молекул продуктов сгорания, что снижает направленную скорость электронов и ионов U_e, U_i , а также напряженность электрического поля E .

Как показывает сравнение с численными расчетами, формулы (29)–(32) и (41), (42) дают неплохое приближение для распределения скорости электронов U_e , поля E и степени ионизации α .

Оценка температуры в камере сгорания

Полученные формулы (или результат численного решения уравнений (13)–(16)) могут быть использованы, в первую очередь, для расчета параметров плазмы продуктов сгорания при известном давлении, температуре,

потенциале ионизации и амплитуде модуляции акустического сигнала. Можно использовать эти формулы для расчета плотности тока

$$j(t, x) = e \eta(t, x) U_e(t, x) \frac{p_0}{k T_0}, \quad (43)$$

проводимости плазмы продуктов сгорания

$$\sigma(t, x) = \frac{j(t, x)}{E(t, x)} \quad (44)$$

и подвижности электронов

$$\mu(t, x) = \frac{U_e(t, x)}{E(t, x)}. \quad (45)$$

Все эти величины являются функциями не только от времени и координаты, но и от давления, температуры, потенциала ионизации и амплитуды модуляции акустического сигнала. Но исходя из общих закономерностей поведения плазмы можно сразу сказать, что наиболее

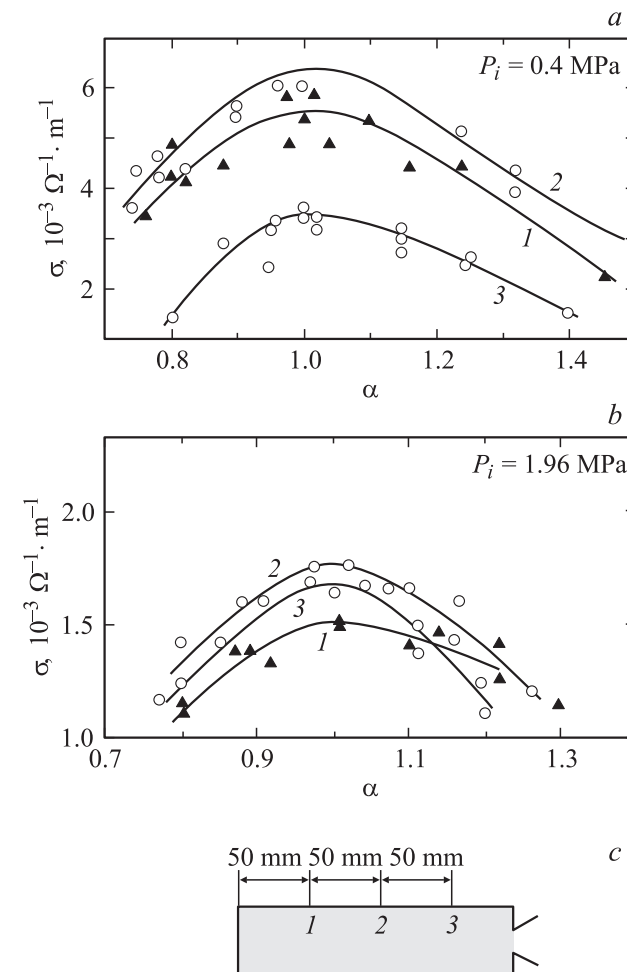


Рис. 2. Зависимость проводимости плазмы продуктов сгорания σ от коэффициента избытка окислителя α при давлении 0.4 (a) и 1.96 MPa (b), измеренная в трех сечениях камеры сгорания (c), здесь. Номера кривых 1, 2, 3 соответствуют номерам сечений.

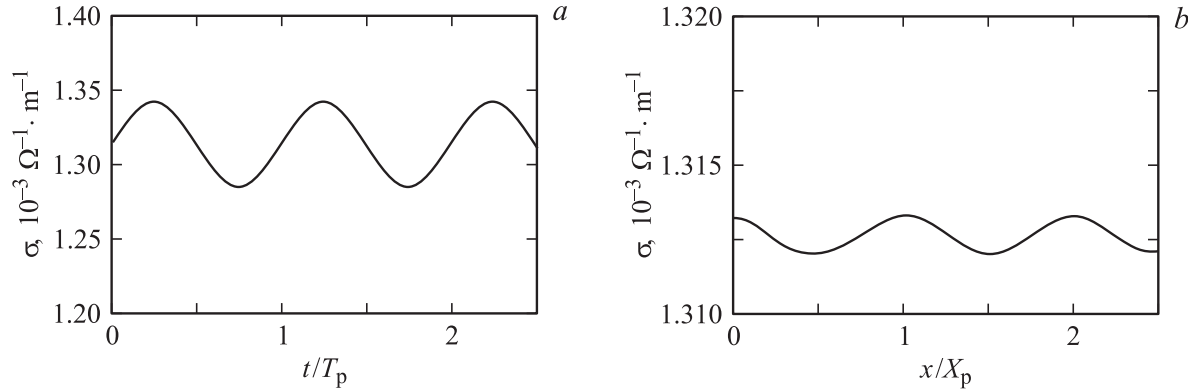


Рис. 3. Зависимость проводимости плазмы продуктов сгорания: *a* — от времени (время t нормировано на период $T_p = 1/f_0 = 2 \cdot 10^{-5}$ с), *b* — от координаты (координата x нормирована на период $X_p = \sqrt{\gamma R_{\text{gas}} T_0}/f_0 = 0.0179$ м) при давлении 0.4 МПа, температуре 2000 К, частоте акустического сигнала 50 kHz и глубине модуляции $c = 0.001$.

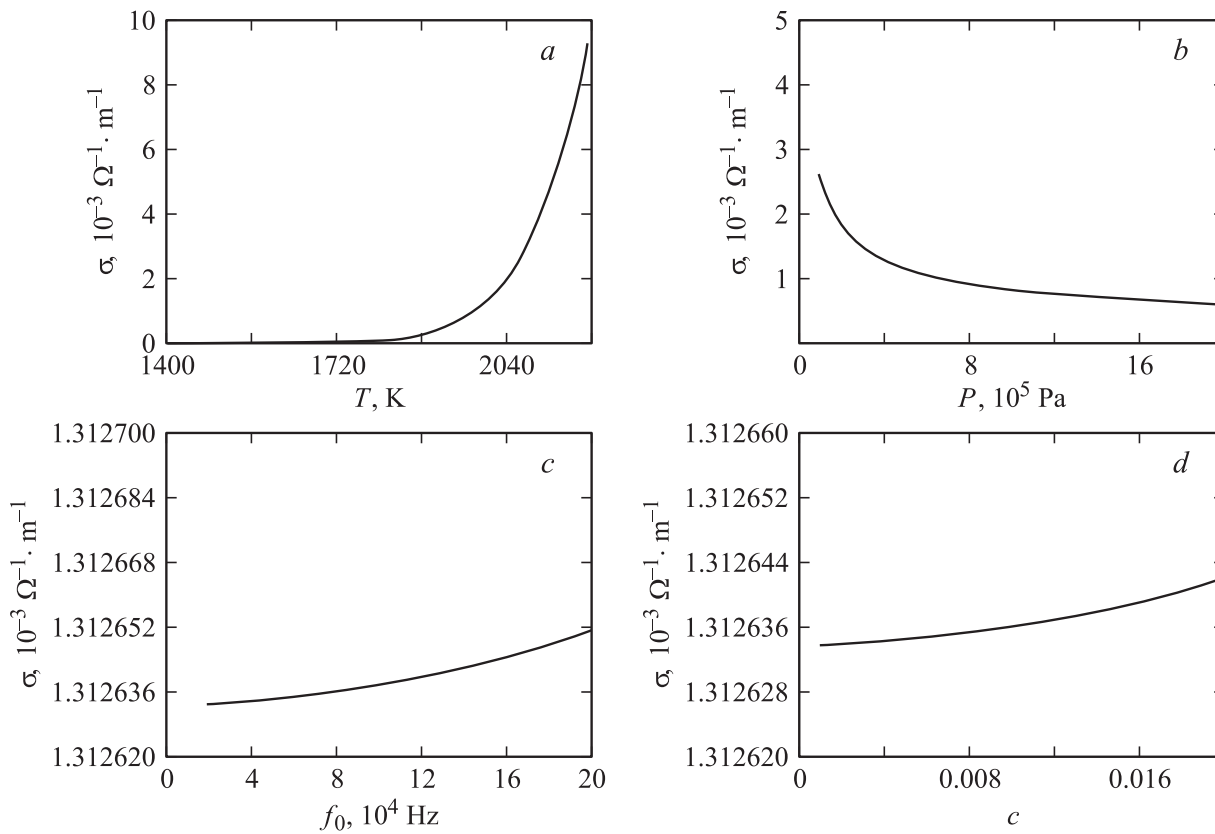


Рис. 4. Зависимость проводимости плазмы продуктов сгорания: *a* — от температуры, *b* — от давления, *c* — от частоты, *d* — от глубины модуляции — при давлении 0.4 МПа, температуре 2000 К, частоте акустического сигнала 50 kHz и глубине модуляции $c = 0.001$.

существенной для проводимости плазмы является зависимость от давления и температуры. Действительно, из рис. 2, 3 следует, что в окрестности зонда, помещенного в плазму для измерения потенциала и проводимости, величину проводимости можно считать не зависящей от пространственно-временной координаты (рис. 3), от частоты и амплитуды модуляции акустического сигнала (рис. 4, *c*, *d*). Поэтому фактически

можно использовать экспериментально полученные результаты измерения проводимости σ_{exp} для определения температуры, считая, что экспериментально измеренная проводимость σ_{exp} является функцией только температуры и известного давления p_0 , т. е. использовать уравнение $\sigma_{\text{exp}} - \sigma(T, p_0) = 0$, где $\sigma(T, p_0)$ рассчитывается при заданном давлении и фиксированных параметрах эксперимента по формуле (44) или (46) (рис. 5–7).

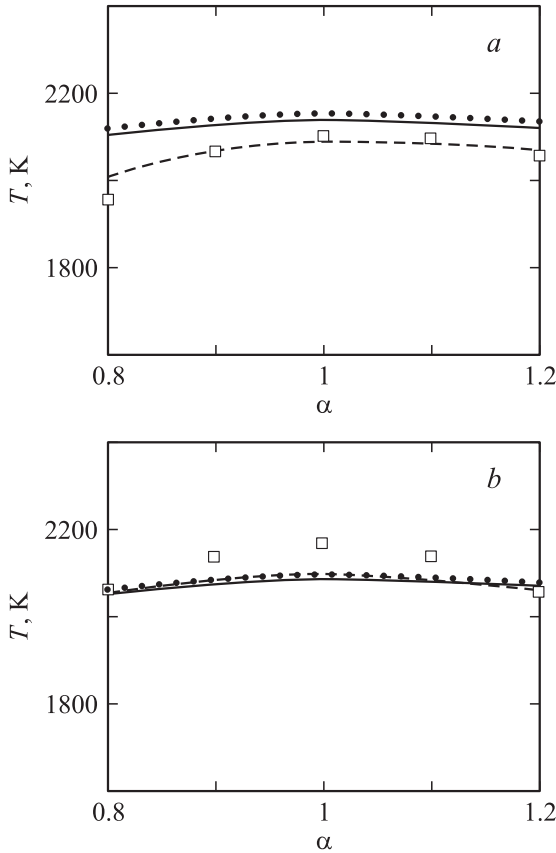


Рис. 5. Зависимость температуры от коэффициента избытка окислителя α , рассчитанная по измеренной проводимости σ_{\exp} : сплошная кривая — в сечении 1 (см. рис. 2, c); пунктир — в сечении 2, штриховая кривая — в сечении 3; точки — экспериментальные данные при давлении 0.4 (a) и 1.96 MPa (b).

Средняя проводимость плазмы продуктов сгорания в нашем случае дается формулой

$$\sigma(p_0, T_0) = 3.02395 \cdot 10^6 \left[T_0 + \frac{p_0 \exp(\frac{V}{kT_0})}{0.0667 T_0^{3/2}} \right]^{-1/2}. \quad (46)$$

Проводимость определялась экспериментально в трех сечениях цилиндрической камеры сгорания (рис. 2, c). Сечение 1 отстояло от начала камеры сгорания на 50 см, 2 — на 100, сечение 3 — на 150 см.

Известно, что ионизирующая добавка (в нашем случае — калий) существенно снижает эффективный коэффициент ионизации продуктов сгорания до 7–8 eV, поэтому все расчеты проводились при потенциале ионизации $V = 7.5$ eV. На этих же рисунках приведены значения температуры, полученные не зависимым от нашего методом [2,3]. На рис. 6 приведен результат расчета подвижности электронов в исследуемом диапазоне температур. На рис. 7 дано распределение температуры по длине камеры сгорания.

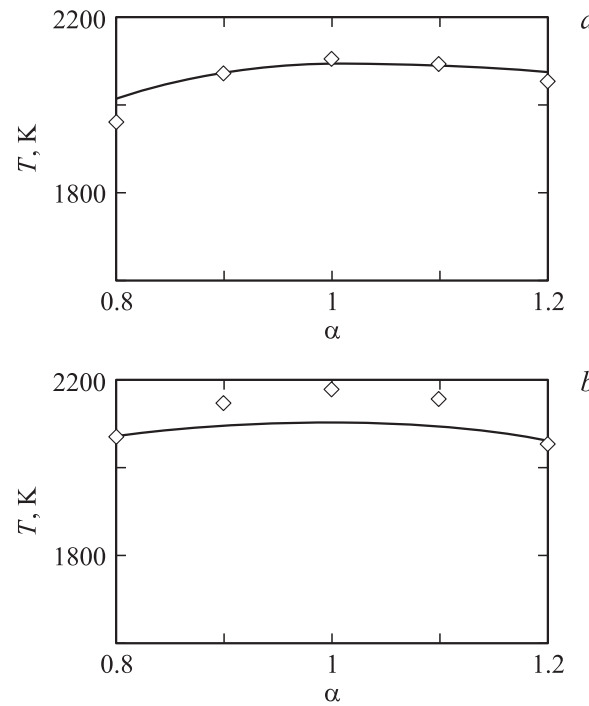


Рис. 6. Зависимость температуры от коэффициента избытка окислителя α , рассчитанная по проводимости в сечении 3 (см. рис. 2, c); точки — экспериментальные данные при давлении 0.4 (a) и 1.96 MPa (b).

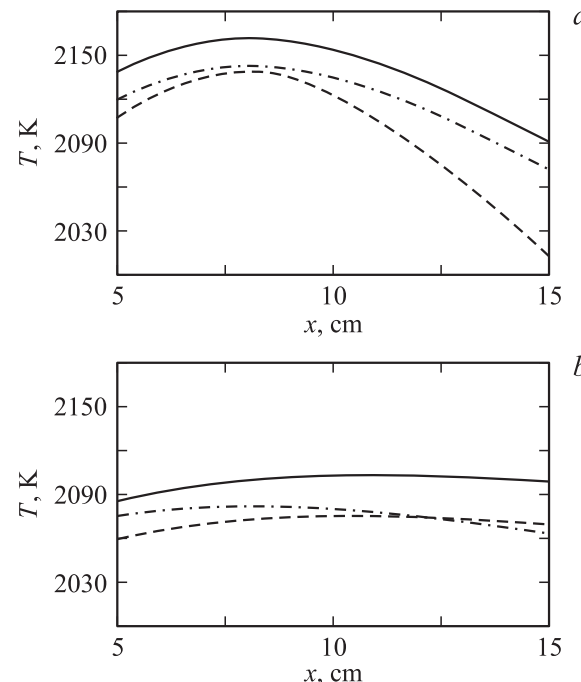


Рис. 7. Распределение температуры по длине модельной камеры сгорания при различных значениях коэффициента избытка окислителя α при давлении 0.4 MPa (a) и 1.96 (b). Штриховая кривая — $\alpha = 0.8$, сплошная — $\alpha = 1.0$, штрихпунктир — $\alpha = 1.2$.

Заключение

Результаты расчетов позволяют сделать вывод о хорошей температурной стабильности испытываемого двигателя, поскольку при разных давлениях удается сохранить почти постоянное значение температуры по всей длине камеры. Наиболее теплонагруженной областью оказывается середина камеры сгорания (сечение 2 на рис. 2, с), наилучшее соответствие между двумя методами определения температуры получается ближе к концу камеры сгорания (рис. 6). Реальная точность определения проводимости в данном эксперименте (ошибка порядка 7–10%) позволяет считать, что значения температуры, полученные разными методами, практически совпадают, и предложенный в данной работе метод может быть использован для определения в реальном времени распределения температуры, подвижности электронов и других параметров в различных участках камеры сгорания.

Измерение и использование электрофизических характеристик плазмы продуктов сгорания относится к числу фундаментальных результатов. Четкая взаимосвязь установлена между электрофизическими характеристиками (потенциал, проводимость) и прохождением ударных и акустических волн через плазму продуктов сгорания. Изучение этих закономерностей, выполненное с помощью самых современных методов эксперимента, открывает возможности практического применения в следующих областях.

1. Определение кривой выгорания топлива. Эта кривая является одной из основных характеристик двигателя любого типа. Ее ход во многом определяет экономическую эффективность двигателя и его экологичность.

2. Получение частотных характеристик процесса горения в камере сгорания. С измерением этих характеристик связан анализ устойчивости работы двигателя и анализ особенностей происходящих при горении физико-химических процессов.

3. Экспериментально-расчетные методы определения электризации стенок камеры сгорания в результате развития электрофизических процессов в плазме продуктов сгорания. Эти явления связаны с нежелательным появлением потенциала (до ± 400 В) на корпусе двигателя.

4. Разработка систем защиты и аварийного отключения двигателя на основании анализа высокочастотных характеристик процессов в камере сгорания.

Выполненные работы направлены в перспективе на увеличение безопасности и управляемости полета, на снижение шума и негативного воздействия на окружающую среду.

Стратегической целью наших работ является разработка и создание методов и устройств, внедрение которых в авиационную и авиационно-космическую технику поднимет на новый качественный уровень надежность и экологичность аэрокосмических систем.

Авторы выражают глубокую признательность проф. Ю.Н. Филимонову, проф. В.А. Пинчуку и их сотрудникам за постоянное внимание к работе.

Список литературы

- [1] Пинчук В.А. // Инж.-физ. журн. 1994. Т. 67. № 1–2. С. 112–118.
- [2] Куранов А.Л., Кучинский В.В., Пинчук В.А., Филимонов Ю.Н. // Полет. 2005. № 3. С. 28–34.
- [3] Кучинский В.В., Никитенко А.Б., Первухин В.С., Филимонов Ю.Н. Сб. тезисов II Междунар. конф. „Авиадвигатели XXI века“. М., 2005. Т. 3. С. 155–158.
- [4] Камке С. Справочник по дифференциальным уравнениям в частных производных первого порядка. М., 1966. 260 с.